

# *Un'estensione di un teorema di Feynman mediante la tassellazione isometrica*

Silvano Rossetto \* Giovanni Vincenzi \*\*

\*Centro Morin, Paderno del Grappa (Italy); rossetto49@gmail.com

\*\* Dipartimento di Matematica Univ. Salerno (Italy); vincenzi@unisa.it



DOI : 10.53159 / PdM(IV).v6n1.128

**Sunto:** *In questo lavoro proveremo un'estensione di un famoso teorema di Feynman usando la tassellazione isometrica del piano. Alcune proprietà dei numeri esagonali centrati verranno evidenziate.*

**Parole Chiave:** *Teorema di Feynman, Tassellazioni, Numeri esagonali centrati.*

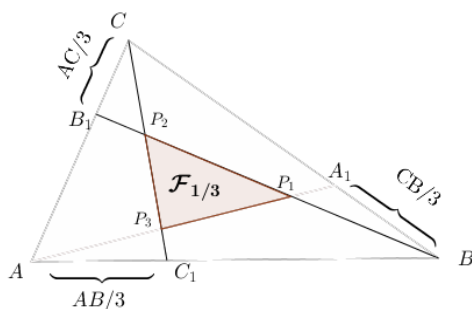
**Abstract:** *In this paper, we will prove an extension of a famous theorem of Feynman by using the isometric tessellation. Certain properties of central hexagonal numbers will be pointed out.*

**Keywords:** *Feynman's theorem, Tassellations, Central exagonal numbers.*

## 1 - Introduzione

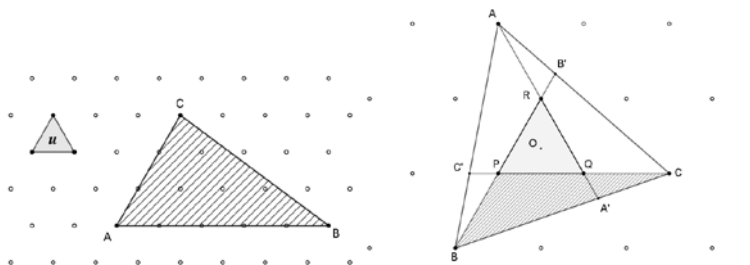
Il ragionamento visivo sta diventando un campo interdisciplinare crescente nella logica, nella filosofia e nelle scienze cognitive, ed è di notevole interesse anche nel campo dell'insegnamento (Barwise, Etchemendy, 1991; Coxeter, 1969; Giaquinto, 2008; Rivera, 2011).

In questo contesto un esempio molto significativo prende spunto dal seguente teorema di Feynman rappresentato nella seguente Figura.



**Figura 1: Configurazione di Feynman. L'area del triangolo  $\mathcal{F}_{1/3} = P_1P_2P_3$  è un settimo di quella del triangolo ABC.**

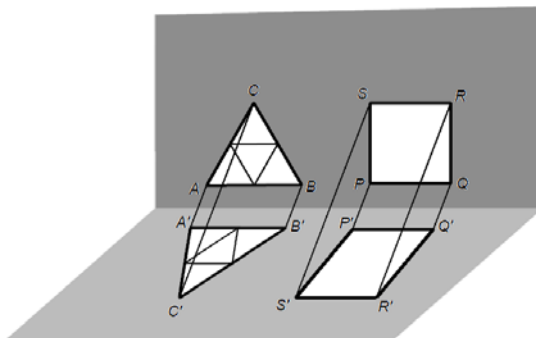
Tra le varie dimostrazioni di questo teorema quella che appare più semplice, in quanto non prevede calcoli, è basata sull'attenta analisi di una figura immersa in un tassellamento del piano (vedi Figura 2) e sulle seguenti osservazioni:



**Figura 2: A sinistra, si nota che l'area di un triangolo sulla griglia isometrica è pari al prodotto  $AB \times AC \times u$ . A destra, l'area del triangolo equilatero  $ABC = 3PBC + PQR = 3(1 \times 2)u + u = 7u$**

Osservazione 1: Ogni triangolo è affinementemente equivalente e ad un qualunque altro triangolo ([2] Coxeter 1969, Sec.13.5).

Osservazione 2: In una trasformazione affine il rapporto tra segmenti e il rapporto delle aree, rimane invariato.

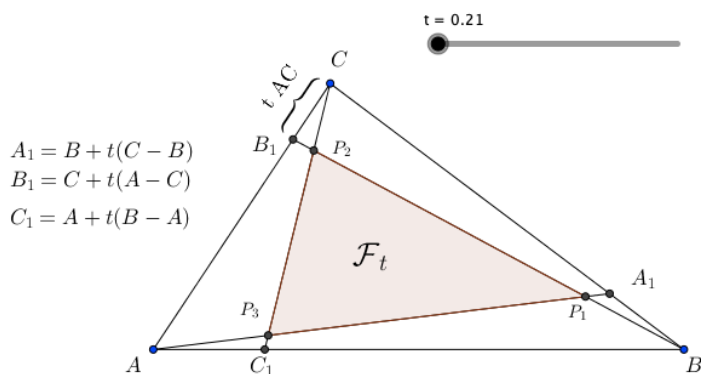


**Figura 3 – Affinità parallela di un triangolo equilatero e di un quadrato**

Ciò che maggiormente sorprende del risultato di Feynman è che il rapporto tra l'area del triangolo di partenza e quello centrale che compare nella configurazione, non dipende dalla

scelta del triangolo ed è un numero intero, precisamente il numero 7.

A questo punto, la domanda più naturale è: che succede alla configurazione di Feynman se su ciascun lato di ABC si stacca un segmento che invece di essere  $1/3$  del lato  $l$  ha una lunghezza pari a  $t \times l$  con  $t \in [0, 1]$ ?



**Figura 4 Configurazione generalizzata del triangolo di Feynman.  
Quanto vale  $ABC/\mathcal{F}_t$ ?**

Lo scopo di questo articolo è illustrare un metodo elementare basato sulla tassellazione isometrica del piano per provare il seguente risultato:

*Teorema* Se il rapporto tra i segmenti staccati su ciascun lato di un triangolo è un numero razionale  $a/b$ , allora il rapporto tra le aree del triangolo iniziale e quello generato dalla partizione è un numero razionale.

La nota vuole proporre agli insegnanti qualche spunto di attività con gli studenti che intrecci, con metodi elementari e con una modalità esplorativa, argomenti di geometria, di algebra e di combinatoria. Come ulteriore stimolo si lascerà un problema aperto.

## 2 - Dimostrazione del teorema

Per le Osservazioni 1 e 2, possiamo restringere la nostra analisi ai triangoli equilateri.

Per questioni di simmetria, senza ledere la generalità possiamo supporre che  $\frac{b}{a} < \frac{1}{2}$  sia un numero razionale minore di  $1/2$ . Allora esistono  $n$  ed  $i$  interi positivi tali che:

$$\frac{b}{a} = \frac{n-i}{2n}. \quad (1)$$

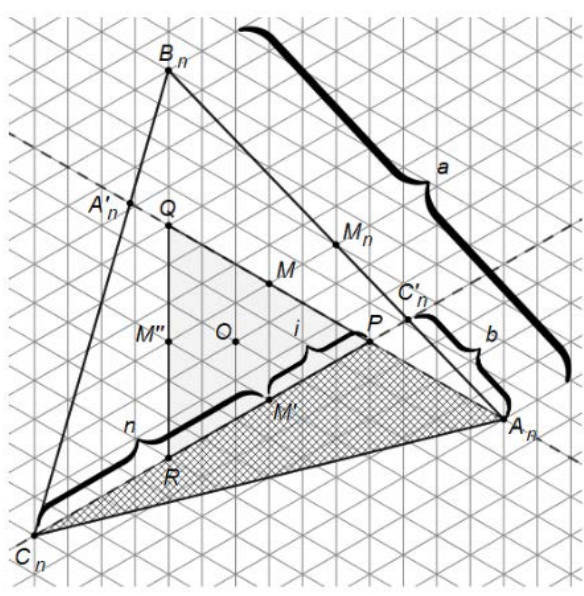


Figura 5 – Ripartizione del triangolo  $A_n B_n C_n$  con coefficiente  $b/a$  e corrispondente griglia isometrica:  $A_n C'_n = \frac{b}{a} \times A_n C_n$

Iniziamo con i seguenti tre passi:

- 1) Si disegni su una griglia isometrica un triangolo equilatero  $PQR$  di lato  $2i$ .

2) Si prolunghi ordinatamente ogni lato di  $PQR$ , e da ciascun punto medio si stacchi su di esso un segmento di lunghezza  $n$ :  $A_nM = C_nM' = B_nM'' = n$

3) Si osservi che il rapporto  $\frac{A_nC'_n}{A_nB_n} = \frac{b}{a}$ . Infatti dal

teorema di Talete  $\frac{A_nM}{A_nP} = \frac{A_nM_n}{A_nC'_n}$ ; inoltre

$$A_nM = n, MP = i \text{ e } A_nP = A_nM - MP,$$

per cui vale la relazione  $\frac{n-i}{n} = \frac{2(n-i)}{2n} = \frac{2A_nC'_n}{A_nB_n}$ .

D'altra parte dalla Eq. (1) abbiamo  $\frac{b}{a} = \frac{n-i}{2n}$ , per cui

$$\frac{b}{a} = \frac{A_nC'_n}{A_nB_n}.$$

Da ciò segue che il triangolo  $PQR$  è il triangolo centrale associato alla partizione di tipo Feynman del triangolo  $A_nB_nC_n$  secondo un coefficiente di ripartizione pari a

$$\frac{A_nC'_n}{A_nB_n} = \frac{b}{a}.$$

Calcoliamo ora il rapporto delle aree dei triangoli  $A_nB_nC_n$  e  $PQR$  rispetto al triangolo di base della griglia isometrica e ai due parametri  $n$  ed  $i$ .

$$\begin{aligned} \frac{[A_nB_nC_n]}{[PQR]} &= \frac{3 \times (PA_n \times PC_n) + PR^2}{PR^2} \\ &= \frac{3(n+i)(n-i) + (2 \cdot i)^2}{(2 \cdot i)^2} = \frac{3n^2 + i^2}{4 \cdot i^2}. \end{aligned} \quad (2)$$

D'altra parte dalla (1) abbiamo che  $\frac{n}{n-i} = \frac{a}{2b}$ , per cui

$$2n \cdot b = a \cdot n - a \cdot i; \quad a \cdot n - 2n \cdot b = a \cdot i; \quad n(a - 2b) = a \cdot i$$

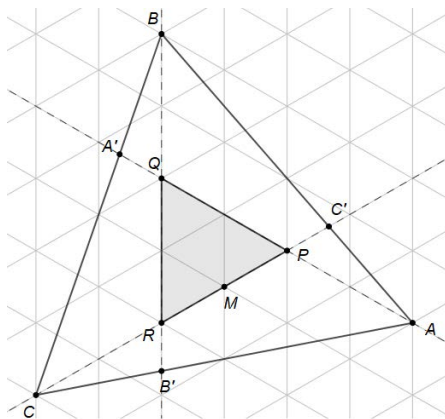
$$n = \frac{a \cdot i}{a - 2b}. \quad (3)$$

Sostituendo ad  $n$  l'espressione (3) in (2), si ottiene:

$$\frac{3n^2 + i^2}{4i^2} = \frac{3\left(\frac{ai}{a-2b}\right)^2 + i^2}{4i^2} = \frac{3a^2 + (a-2b)^2}{4(a-2b)^2} = T(a, b). \quad (4)$$

Possiamo quindi concludere che ogni ripartizione regolare del triangolo equilatero  $ABC$  (Figura 5) per la quale  $AB = \frac{a}{b} AC'$ , determina un triangolo  $PQR$  tale che il rapporto delle aree dei due triangoli è un numero razionale. La dimostrazione è conclusa.  $\square$

Come esempio di applicazione del teorema precedente, si fa notare che nel caso del triangolo equilatero, con  $AB = a = 3$  e  $AC' = b = 1$ , abbiamo la classica configurazione di Feynman (vedi Fig. 6):



**Figura 6** La configurazione di Feynman nella tassellazione isometrica.

In questo caso il rapporto delle aree si ottiene come segue:

$$T(3,1) = \frac{3 \cdot 3^2 + (3 - 2 \cdot 1)^2}{4(3 - 2 \cdot 1)^2} = \frac{27 + 1}{4} = 7.$$

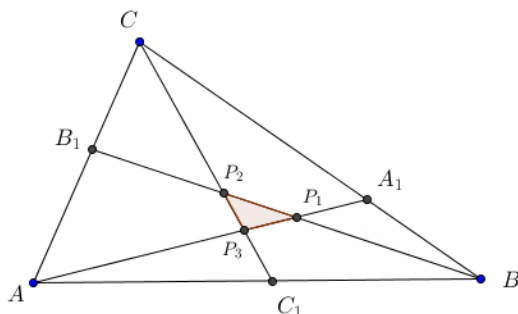
Evidenziamo inoltre che dalla formula (4) per le partizioni di tipo Feynman un triangolo  $ABC$  con rapporto del tipo  $1/a$ , con  $a$  numero dispari:  $a = 1, 3, 5, 7$ , il rapporto tra l'area del triangolo  $ABC$  e quella del triangolo centrale associato alla partizione produce numeri esagonali centrati consecutivi  $\text{Hex}(1)=1$ ,  $\text{Hex}(2)=7$ ,  $\text{Hex}(3)=19$ ,  $\text{Hex}(4)=37$ , ... . Per approfondimenti sui numeri esagonali centrati vedi (Rossetto, Vincenzi, 2022a).

### 3 -Approfondimenti

Per il lettore che vuole approfondire questo tipo di argomenti, si evidenzia che esistono ulteriori estensioni del teorema di Feynman. Una di queste, in forma molto generale è espressa dalla formula di Routh, la cui dimostrazione però non appare semplice (Coxeter, 1969, p. 211).

Per illustrarla, sia  $ABC$  un triangolo, e siano  $CC_1$ ,  $BB_1$  e  $AA_1$  tre ceviane di  $ABC$





**Figura 7.**  $P_1P_2P_3$  è generato da tre ceviane. La sua area si può esprimere in funzione dell'area di  $ABC$  e dei rapporti  $\lambda, \mu, \nu$ .

Posti  $\frac{CA_1}{A_1B} = \lambda, \frac{BC_1}{C_1A} = \mu$  e  $\frac{AB_1}{B_1C} = \nu$  si ha che il rapporto

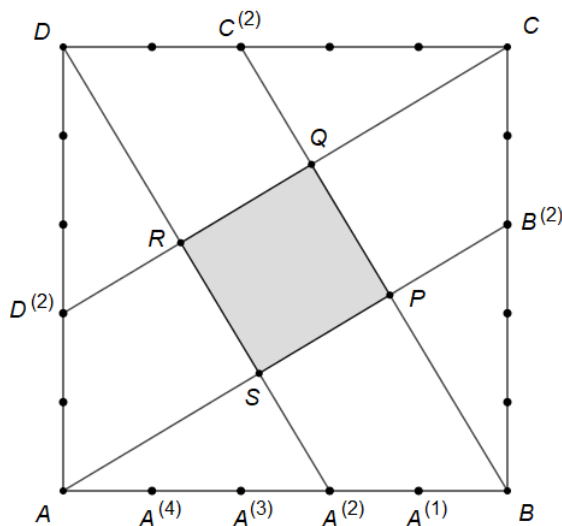
$\mathcal{T}(\lambda, \mu, \nu)$  delle aree tra  $ABC$  e il triangolo centrale  $P_1P_2P_3$  che si viene a generare è:

[Formola di Routh]

$$\mathcal{T}(\lambda, \mu, \nu) = \frac{(\lambda\mu\nu - 1)^2}{(\lambda\mu + \lambda + 1)(\mu\nu + \mu + 1)(\nu\lambda + \nu + 1)} ABC.$$

Il metodo della tassellazione, è stato recentemente utilizzato per estendere il risultato di Feynman ai quadrati (Rossetto, Vincenzi, 2022b). In particolare, si può provare che:

*Il rapporto tra le aree del quadrato di base e quello derivato da una sua partizione (di tipo Feynman) con rapporto razionale è un numero razionale.*



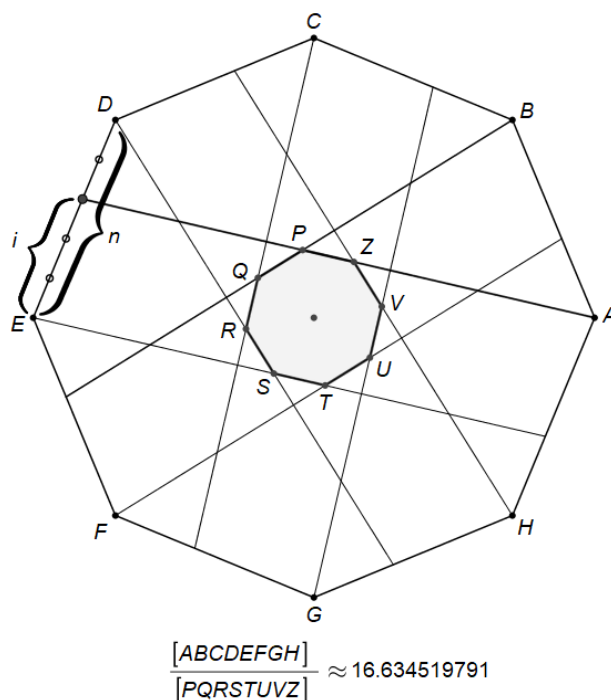
**Figura 8 – Ripartizione di un quadrato  $ABCD$  di tipo Feynman con rapporto  $2/5$ . Risulta  $ABCD/PQRS=17/2$**

Anche nel caso dei quadrati emergono interessanti relazioni con i numeri esagonali centrati.

Si osservi inoltre che anche per gli esagoni regolari è possibile estendere il risultato di Feynman mediante il metodo della tassellazione con griglia isometrica e ottenere un risultato analogo a quello ottenuto per i triangoli e per i quadrati (Rossetto, Vincenzi, in progress 1).

Per quanto riguarda invece gli altri poligoni regolari, la tassellazione del piano non è possibile, e quindi una dimostrazione generale del teorema presentato in questa nota non sussiste. Tuttavia le partizioni di tipo Feynman, si possono considerare per ogni poligono regolare, e quindi, sorge in modo naturale la curiosità di capire che succede in questi altri casi. A tal proposito, uno studio analitico condotto

con software matematico (DERIVE), prova ad esempio che nel caso degli ottagoni regolari il rapporto tra l'area di un ottagono e quella dell'ottagono generato da una sua partizione di tipo Feynman con rapporto razionale può essere irrazionale (Rossetto-Vincenzi, in progress 2).



**Figura 9 – Ripartizione di tipo Feynman con rapporto  $i/n$  di un ottagono ottenuta con Geogebra**

Riferendoci alla Figura 9, possiamo anticipare che la formula che si ottiene è

$$\frac{[ABCDEF]}{[PQRSTUVZ]} = \frac{3n^2 + (n-i)^2}{i^2} + \frac{n^2}{i^2} 2\sqrt{2}$$

$$\rightarrow \frac{75+4}{9} + \frac{25}{9} 2\sqrt{2} \approx 16,634519791$$

come conferma il programma Geogebra (vedi dettagli della Figura 9).

Alla luce di queste considerazioni, lasciamo la seguente congettura:

*Per ogni poligono regolare  $P_n$  con  $n$  diverso da 3,4,6, il rapporto tra le aree del poligono  $P_n$  di base e quello derivato da una sua partizione (di tipo Feynman) con rapporto razionale non è un numero razionale.*

## Bibliografia

BARWISE J, ETCHEMENDY J. (1991). Visual information and valid reasoning, in *Visualizing in teaching and learning mathematics*. Zimmerman W, Cunningham S, editors, Washington, DC: Mathematical Association of America.

COXETER H.M.S. (1969). *Introduction to Geometry* (Second Edition), John Wiley & Sons.

GIAQUINTO M. (2008). Visual thinking in mathematics, in *Philosophia Mathematica, 1 - 2009*, Oxford University Press.

RIVERA F.D. (2011). Toward a visually-oriented school mathematics curriculum research, theory, practice, and issues. *Vol. 49. Dordrecht: Springer Science Business Media; 2011.*

ROSSETTO S. VINCENZI G. (2022a). Two Hidden Properties of Hex Numbers, in *The teaching of Mathematics*, 25, pp. 21-29.

ROSSETTO S., VINCENZI G. (2022b). Ripartizioni del quadrato e sequenze numeriche. *Archimede* 4/2022.

ROSSETTO S, VINCENZI G., (in progress 1). Ripartizioni regolari dell'esagono e del triangolo.

ROSSETTO S, VINCENZI G. , (in progress 2), Ripartizioni di poligoni regolari e numeri irrazionali.

